

II-348 破波帶の浮遊砂濃度と拡散係数 に関する実験的研究

北海道大学工学部 学生員 本岡 竜
同 上 正員 山下 俊彦

1. はじめに

破波帶内では、底質の移動が激しく、この領域が海浜変形を予測する際に重要である。破波帶内の漂砂で特徴的なものは、破波により発生した大規模渦、あるいは乱れによる砂の浮遊である。破波帶内の浮遊砂の濃度分布を決定するには、拡散係数と基準点濃度を知る必要がある。拡散係数については、瀧岡ら¹⁾が破波の物理過程を反映した形で導出している。基準点濃度については、ほとんど調べられていないのが現状である。本研究では、まず浮遊砂濃度分布を実験的に詳細に調べる。拡散係数については、瀧岡らと同様の方法で導いた式と比較検討し、基準点濃度については、底面に砂渦が形成している場合について、砂渦による浮遊砂の基準点濃度と比較することにより、破波による基準点濃度を明らかにする。

2. 実験方法及び結果

1) 実験方法 実験には、長さ24m、幅0.8m、深さ0.8mの二次元造波水路を用いた。この水路に一様勾配の斜面を作り、ほぼ均一な粒径(0.16mm)の砂を厚さ7cmで敷き詰めて実験を行った。波高の測定は、容量式波高計を用い、濃度の測定はサイフォンを用いた。測定点は破波点から、破波点と汀線の中間の間に5~7点とった。実験条件は、表-1に示す6ケースである。

ただし $\xi = i_0 / \sqrt{H_0/L_0}$ である。

2) 代表的な濃度分布 破波による濃度分布には、図-1の様に代表的な2種類の分布形がある。a図は、破波による水平渦²⁾が直接底面に到達し、砂を巻き上げる場合で、水深スケールの大きな混合があり、拡散係数 $\varepsilon = \text{const}$ で片対数紙上で直線分布である。この場合、底面には砂渦は形成されていない。b図の下の部分は、砂渦により発生する渦により砂が巻き上げられる部分で、上に尖の指指数曲線分布になることが知られている³⁾。上の部分は、砂渦の渦によって巻き上げられた砂を、破波による渦が拡散する部分で、この場合も斜め渦²⁾により水深スケールの混合が起こるため、直線分布となる。本研究では、直線部分を破波領域とし、指指数曲線部分を砂渦領域とする。

3) 基準点濃度 砂渦領域の基準点濃度は、従来の研究でほぼ定量的に把握できる³⁾。この領域の基準点は、砂渦の波高を H_s とするとき、砂渦頂より H_s だけ高い $Z = H_s$ の点に取られる。破波領域の基準点を $Z = 4H_s$ とし、砂渦領域のものと比較したのが図-2である。この図によると破波領域の基準点濃度は、砂渦領域のほぼ1/2倍という関係にあることがわかる。

	Case 1	Case 2	Case 3	Case 4	Case 5	Case 6
水深 h (cm)	47.0	47.0	47.0	47.0	47.0	47.5
初期勾配 i_0	1/15	1/15	1/30	1/30	1/30	1/30
破波形式	巻波型	巻波型	巻波型	巻波型	巻波型	くずれ
周期 T (s)	1.35	1.89	3.26	1.90	3.26	1.56
冲波波高 H_0 (cm)	16.5	15.1	14.0	16.0	8.5	14.0
碎波波高 H_s (cm)	16.6	19.8	21.5	19.0	16.0	18.0
碎波水深 h_b (cm)	20.0	18.0	23.5	24.0	20.0	24.5
冲波波形勾配 H_0/L_0	0.0587	0.0408	0.0206	0.0430	0.0128	0.0479
Surf Similarity ξ	0.254	0.330	0.232	0.161	0.297	0.152

表-1

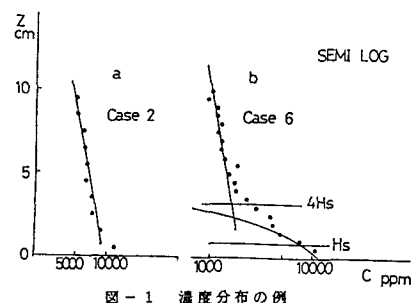


図-1 濃度分布の例

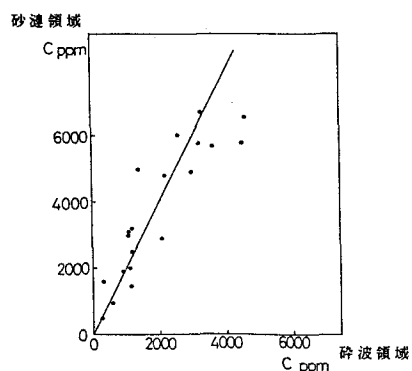


図-2 破波領域と砂渦領域の基準点濃度の比較

4)拡散係数 図-3に、ケース2とケース3の測定点における波高と拡散係数と基準点濃度の変化を示す。この図より、拡散係数の大きい点では、波高の減衰が大きいことがわかる。また、ケース2のB C D点の基準点濃度が非常に高いことがわかる。これは、水平渦が直接底面の砂を巻き上げるためである。

拡散係数 ϵ_z を灘岡らと同様に碎波の物理過程を考慮して導出する。 ϵ_z は代表流速 (U) と代表長さ (L) に比例する。碎波による拡散の代表流速は、図-4に示す水平渦の周速度 q であり、代表長さは渦の半径を r とすると $2r$ である。碎波によって発生する渦は、一波長内に一部しかないので一波長平均の拡散係数を求めるには、渦の発生する空間 $2rL$ と、一波長全部の空間 Lh の比をかける必要がある。渦の循環 Γ は $2\pi qr$ で表されるので、拡散係数は $\Gamma \alpha H / \beta h$ に比例する。ここで α は水平渦の直径 $2r$ と波高 H との比で、 β は水平渦の領域 l と波長 l との比である。渦の発生により波高の減衰が生じると考えられるので、渦の循環 Γ は波高の減衰より求まる。 ϵ_z は最終的に式(1)となり、底面勾配 i_0 、波高変化 dH/dx 、波高 H 、水深 h と周期 T の関数で表される。

今回の計算では、渦が波高スケールとして $\alpha = 1$ とし、また、波長の $1/3$ の領域に生じるとして $\beta = 3$ として行った。図-5より i_0 が大きい値のとき、傾きが緩くなる傾向がある。これは同じ斜面勾配で考えると、 i_0 が大きいときは波形勾配 H/L が小さくなり、波高 H が同じだと波長 L が長くなる。碎波による渦の領域は、波長が長くなつても、それに比例して大きくならないため、 β が大きくなり計算値が小さく見積られている。また、ケース6の一一番右側の点は、ケース6の碎波形式がくずれ波型のため、碎波後すぐの点では、波高に対して渦の領域が小さいため、計算値が大きく見積られている。よって α 、 β を修正して i_0 で関係づけると1つの比例関係が得られると考えられる。

3. おわりに

結論としては、①底面に砂漣が形成されている場合の碎波領域の基準点濃度は、砂漣領域の $1/2$ という関係にある。②水平渦が直接底面に到達し、砂漣が形成されない地点の基準点濃度は非常に高く、重要な地点である。③波の波高減衰と関係づけて求まる式(1)の拡散係数は、実験値をある程度説明することがわかった。

〈参考文献〉

- 1) 瀧岡和夫ら：碎波の物理過程に基づいた碎波帶内の拡散係数のモデル化、第33回海岸工学講演会論文集、1986
- 2) 瀧岡和夫ら：碎波帶内の乱れの組織的構造と水粒子運動について、第31回海岸工学講演会論文集、1984
- 3) 山下俊彦ら：砂漣上の乱れ強度分布と浮遊砂濃度分布、第28回海岸工学講演会論文集、1981

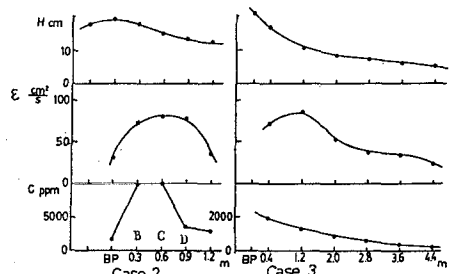
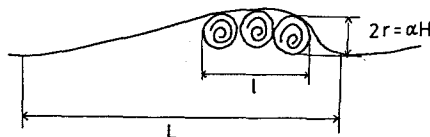


図-3 波高と拡散係数と基準点濃度の関係



$$\begin{aligned} \epsilon_z &= (U)(L) \\ &\approx q \cdot 2r \cdot \frac{2r}{Lh} \\ &\approx \Gamma \cdot \frac{\alpha H}{\beta h} \\ \epsilon_z &= K \frac{\alpha H^{1/2} T^{1/2}}{\beta h} \left(\frac{H^2 l}{2 h^{1/2}} + 2 H h^{1/2} \cdot \frac{dH}{dx} \right)^{1/2} \quad (1) \end{aligned}$$

図-4

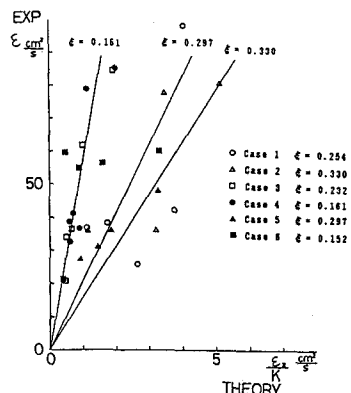


図-5 拡散係数の実験値と計算値の関係